

## عزل وتعريف البكتيريا المسئولة لمرض لفحة أوراق الكافور في بعض مناطق الجبل الأخضر *Xanthomonas axonopodis* pv. *Eucalypti*

نجية محمد جاد الله، غزالة إبراهيم الفضيل، حنان صالح عبد رب  
قسم وقاية النبات - كلية الزراعة - جامعة عمر المختار- البيضاء ليبيا ص ب ٩١١ .

Submitted August 7, 2022; Accepted November 20, 2022; Published December 18, 2022

### الملخص

أجريت هذه الدراسة في بعض مناطق الجبل الأخضر (البيضاء، المنصورة، السليونة، المنصورة، قصر نببيا)، لتحديد مسبب إصابة أشجار الكافور بالفعالية للفحة البكتيرية خلال العام ٢٠٢١/٢٠٢٠، حيث تم الحصول على أربعة عزلات بكتيرية من أوراق الكافور المصابة لمختلف المناطق، تم تعریفها عن طريق الإختبارات المورفولوجية والفيسيولوجية والبايولوجية، تبين أن العزلات جميعها سالبة الصبغة عصوية الشكل مقدرة الخلايا وأعطت أعراض موت على نباتات التبغ والتي تدل على إيجابيتها لاختبار فرجت الحساسية وأظهرت نتائج القدرة على حدوث المرض ايجابيتها مع العزلات البكتيرية وأعطت أعراض التبعق واللفحة بعد أسبوع على الطماطم وأما أوراق الكافور أعطت تلوث الأوراق خلال ٤٨ ساعة بناء على الخصائص الحيوية والبيوكيمانية والقدرة على حدوث المرض التي تتميز بها العزلات، تبين ارتباط الأعراض ببكتيريا *Xanthomonas axonopodis* pv. *Eucalyptorum* وبينت نتائج تأثير درجات الحرارة على نمو البكتيريا بأن هناك فروق مغناوية بين العزلات حيث كانت على نمو للبكتيريا عند درجة ٣٧ درجة مئوية وكذلك لاحظنا الفروق باختلاف الموقع وسجل نمو جميع العزلات خلال ٢٤ ساعة أعلى معدل للنمو.

**الكلمات المفتاحية :** لفحة البكتيريا، صبغة جرام ، البيانات الانتقامية للبكتيريا الإختبارات الفيسيولوجية والبيوكيمائية

الأوراق والعنق نخر، مصحوبًا في كثير من الأحيان بالتفوب المركزية. يمكن أن يؤثر أيضًا على الساقان والفروع يمكن أن تسبب لفحة الأوراق البكتيرية أضرارًا كبيرة وتساقطًا شديدًا للأوراق نتيجة للإصابة (Alfenas, 2009, Gonçalves et al., 2008) في ظل ظروف مواتية للمرض، يعتبر من أهم أمراض اليوکالبتوس خلال مرحلة إنتاج الشتلات في البرازيل، وخاصة في المناطق الدافئة، بشكل أساسي عندما يقترن بكثافة وتكرار أكبر من هطول الأمطار في الآونة الأخيرة، من بين الفحصات البكتيرية العوامل الرئيسية المحددة التي تساعد البكتيريا بالنمو والتكاثر لليوکالبتوس (Gonçalves et al., 2008) على وجه الخصوص تقدر الخسائر بما يقرب من ٨ مليون دولار، بسببها *Xanthomonas* تم تسجيل لفحة الأوراق البكتيرية العصوية في مختلف المشاكل في البرازيل (Alfenas et al., 2001, Neves et al., 2014). تؤثر أيضًا على الساقان والفروع الأوراق بشكل شائع في الأصناف الحساسة في ظل الظروف البيئية المناسبة للمرض. في جنوب أفريقيا ، أعراض مماثلة لوحظت في أنواع مختلفة من أصناف الكافور ونسبة المرض التي تزداد في الآونة الأخيرة على اليوکالبتوس (Coutinho et al., 2015). على الرغم من الأهمية المتزايدة لهذا المرض، لا يُعرف الكثير عن العوامل التي تؤثر على البكتيريا ، تحديد الظروف المثلثة للعدوى ضرورية لدعم الدراسات على *X. axonopodis* pv. *Eucalypti* وقد هدفت هذه الدراسة إلى عزل المسبب المرضي لمرض تبعق لفحة أوراق أشجار اليوکالبتوس الذي يصيب النوع *Eucalyptus* ودراسة تأثير درجات الحرارة في نمو البكتيريا في المعمل.

### MATERIALS AND METHODS

**مواد البحث وطرقه**  
**موقع الدراسة:**

### INTRODUCTION

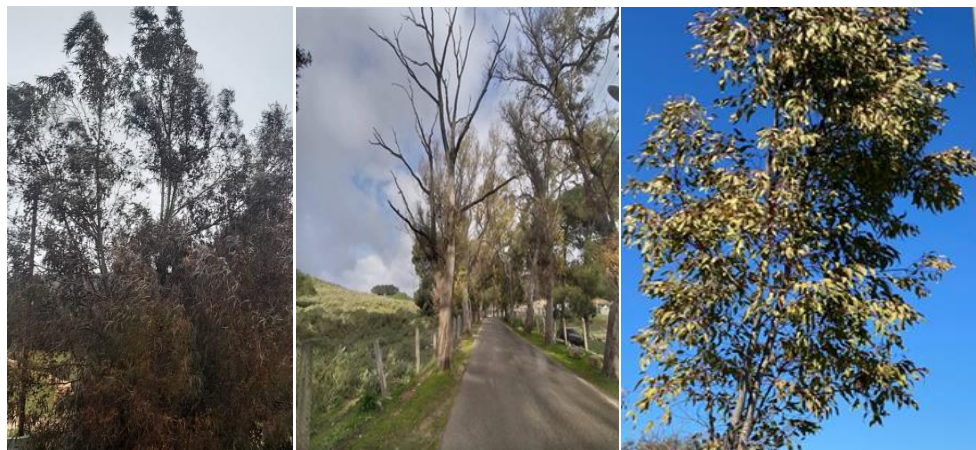
بعد اليوکالبتوس / الكينا *Eucalyptus spp.* من الأشجار دائمة الخضرة تنتمي للعائلة الآسية Myrtaceae (Brooker, 2000) ويضم هذا الجنس أكثر من ٦٠٠ نوع وتعود استراليا الموطن الأصلي له (بدر، ٢٠٠٣) يستخرج من هذه الأشجار زيت طيار (زيت الكافور) يمكن استخدامه طيباً وتأثير قوتها العلاجية من خالله، يمكن استعمال خشبها في مجالات عديدة كتحضير العجينة الورقية وصناعة السيليوز والخشب والقحم وغيرها (السويدى وآخرون، ٢٠٢٠).

دخلت أنواع عديدة من هذه الشجرة إلى ليبيا في ١٩٠٠، إلا أن بعضها لم ينجح وأفضل أنواع اليوکالبتوس التي ثبت نجاحها نوعين هما *E.gomphocephala*, *E.camaldulensis* (الشقلاف، ٢٠٠٩) وبسبب سرعة النمو وملائمتها لمختلف الأجزاء والأراضي فقد انتشرت زراعة اليوکالبتوس في العديد من أقطار العالم *Harkenessia sp* (Gessesse and Teklu, 2011) وينتشر فطر *Gessesse* (Gessesse and Teklu, 2011) على مدي واسع مرافقاً لأوراق وأفرع عدة غواصات نباتية (Sankaran et.al., 1995) وقد سجل الفطر المسبب لمرض لفحة الأوراق على *E.pulverulenta* في استراليا Barber et al., 2003). وهو أحد الأشجار دائمة الخضرة، المعمرة، تتعرض أشجار اليوکالبتوس في العديد من دول العالم للعديد من الأمراض النباتية حيث سجل أكثر من ٤٠٠ نوعاً لمرض تبعق لفحة الأوراق في العالم (Crouseal et al., 1993) من بين الأمراض التي تصيب الأوكالبتوس مرض اللفحة البكتيرية في الأوراق.

إرتبطت أنواع بكتيرية مختلفة مصاحبة للأوراق في العديد من البلدان وفقاً (Gonçalves et al., 2008) للسجلات الأولى لفحة الأوراق البكتيرية في البرازيل تعود إلى أوائل التسعينيات، عندما تم الكشف عن مسببات الأمراض *Pseudomonas cichorii* و *Xanthomonas sp* في نبات الكينا، ميز المرض بوجود لفحة على

النبات بقسم وقاية النبات كلية الزراعة جامعة عمر المختار شكل (١).

أجريت عمليات العزل من الأشجار التي ظهرت عليها أعراض الإصابة في منطقة الجبل الأخضر (البيضاء - السطونة - قصر ليبا - المنصورة) بينما أجريت الدراسة المعملية في معمل قسم أمراض



شكل (١): أعراض اللحمة والتبعق البكتيري على أوراق الكافور في مناطق الدراسة.

ثلاثة أغصان من كل إتجاه بمعدل خمس أشجار عشوائياً وتم نقلها إلى المعمل خلال الفترة من سبتمبر ٢٠٢٠ حتى يونيو ٢٠٢١. تأكيد المسببات البكتيرية للمرض خضعت أنسجة الأوراق المصحوبة بأعراض الإصابة إلى الإختبار الأول حيث تم قطع حوالي ٥ سم من حافة الإصابة وبوضع على قطرة معقمة من الماء على شريحة زجاجية ويتم ملاحظتها تحت المجهر الضوئي (Kado and Heskett., 1970).

**أعراض وعزل البكتيريا:**  
يستند وصف الأعراض وعلامات المرض إلى ملاحظة عينات من الأوراق والأغصان لنباتات الكافور المصابة بشكل طبيعي والتي ظهرت عليها أعراض لحمة الأوراق بشكل بقع مائية في العروق والتي تتطور إلى يقع بنية أو نخر تتلون باللون الأصفر والأحمر على الحواف على طول نصل الورقة شكل (٢) عادة ما يلاحظ تشوهات في طرف الورقة والتي تم الحصول عليها من المناطق المختلفة حيث تم تجميعها من أعلى وأسفل الأشجار وذلك بواقع



شكل (٢): أعراض مرض تبعق ولحمة الأوراق *Harknessia eucalypti* على أوراق نباتات اليوكلبتوس.

الممعق. بعد تعقيم السطح تم الإحتفاظ بالقطع المقطوعة لمدة ٣٠ دقيقة في ٢ مل من الماء الممعق.

تم تقطيع الأوراق المريضة إلى قطع صغيرة. وعفمت بنسبة ٥% هيبوكلوريت الصوديوم لمدة ٣-٢ دقائق وغسلها ثلاث مرات بالماء



شكل (٣): يوضح خطوات العزل.

وقد تم الحرص على تحليل العينات من مختلف المناطق والأشجار بشكل منفصل (Kado and Heskett., 1970).

التعرف على البكتيريا المسببة للأمراض النباتية:

أخذ المستخلص بواسطة إبرة ذات عقدة وتم تحطيط الطبق يحتوي على Nutrient Agar بواقع ثلاثة مكرارات لكل منطقة تم تحضين الأطباق عند ٢٨ درجة مئوية. بالمحضن وتم نمو البكتيريا لمدة ٢٤ ساعة و ٤٨ ساعة. (شكل ٣) ثم تنقيبة المستعمرات المنفردة

**طرق الكشف والفحص:****١- الفحص الميكروسكوبى:**

تليق البكتيريا في بيئة غذائية سائلة إنتخابية من مستعمرات أجار بعمر ٢٤ ساعة تم التحصين . ومن ثم إجراء خطوات صبغ جرام والكشف بالمجهر الضوئي (شكل ٤).

تم وصف المستعمرات مورفولوجيا بعد الزراعة في البيئة (Kado and Heskett, 1970) لمرة ٧٢ ساعة على درجة حرارة ٢٨ درجة مئوية في الظلام وتم تحديد ١٥ مزرعة مميزة الشكل لمعرفة مدى كفاءتها في تفاعل فرط الحساسية وكذلك في الإختبارات الفسيولوجية وقد تم التعرف على مستوى الجنس على أساس اختبار صبغة جرام و KOH وتحليل النشا وبيئة B King واختبار الكتاليز والحركة.



شكل (٤): يوضح طريقة صبغ جرام.

سطح الشريحة. يعتبر اختبار KOH إيجابياً إذا زادت اللزوجة حدث ذلك في غضون ١٥ ثانية (Ryu, 1940).

**٢ - التحلل المائي للنشا:**

أجار النشا المعقم والمبرد تم سكب الوسط في طبق بتري معقم وعند تصلب الوسط ، تم التلقيح بمستعمرة نفقة لبكتيريا الاختبار واحتضنت لمدة ٩٦ ساعة عند ٢٨ درجة مئوية . ومن ثم غمر الصفائح بالبيود ugol's iodine وبيترك لبعض دقائق. تشير المناطق ذات اللون الأحمر إلى رد فعل سلبي وظهور مناطق صفراء واضحة حول نمو البكتيريا يشير إلى رد فعل إيجابي (Suslow *et al.*, 1982).

**٣- حركة مانيتول:**

بلازة معقمة تم اخذ مستعمرة معزولة جديدة والتقاطها في الوسط حتى تصل الجزء السفلي من الأنابيب مع إبقاء الإبرة في نفس خط المسار في الإدخال وكذلك في أخراج الأجراء متوسط ومن ثم إجراء الحضانة عند ٢٨ درجة مئوية لمدة ٢٤ ساعة (Elkhalfi *et al.*, 2013).

**٤- اختبار الكتاليز (Catalase):**  
تم اختبار مستعمرة بكتيرية عمرها ٢٤ ساعة على شريحة زجاجية نظيفة وخلطها مع قطرة من بيروكسيد الهيدروجين (شكل ٥) بنسبة ٣٪ وتركها تتفاعل لبعض دقائق وتم ملاحظتها لتكوين الفقاعات (Lelliott and Stead , 1987).

**الصفات المزرعية:  
النمو على بيئة YDC:**

لتحت بيئة YDC بمزرعة بكتيرية حديثة ، وحضنت من ٢ إلى ٦ أيام عند ٢٨ درجة مئوية (Mary, 2017).

**النمو على بيئة B :**

لتحت البيئة (King B) (King *et al.*, 1954) التي وصفها بمزرعة بكتيرية حديثة ، ثم حضنت على درجة حرارة ٢٨ درجة مئوية لمدة يومين ، ووصفت بعدها المستعمرات النامية مع ملاحظة تكون الصبغات من عدمها لتبينها عن عزلات البكتيريا *Pseudomonas* التي تفرز صبغات لامعة على هذه البيئة.

**الاختبارات الفسيولوجية والبيوكيمائية:**  
**Physiological and biochemical tests:**

الإختبارات التالية تم إجراؤها وفقاً لدليل المختبر لتحديد مسببات الأمراض النباتية البكتيريا (Schaad *et al.*, 2001) :

**١- اختبار هيدروكسيد البوتاسيوم:**  
**KOH test (Potassium hydroxide):**

تم وضع قطرتين ، حوالي ٥٠ ميكرولتر ، من محلول ٪٣ (وزن / حجم) من هيدروكسيد البوتاسيوم على شريحة زجاجية. تم نقل الخلايا البكتيرية من وسط المزرعة بطريقة معقمة باستخدام عود أسنان خشبي مسطح ووضعها في قطرة KOH مع التحريك الدائري السريع. بعد ٨-٥ ثوانٍ ، تم رفع عود الأسنان وخفضه بالتناوب من



شكل (٥): خطوات اختبار إنزيم الكتاليز (Catalase)

الأولى عند درجة حرارة ٥٠°C (الثلاجة) لمدة ٢٤ ساعة، الأنبوية الثانية عند درجة حرارة ٢٥°C حرارة الغرفة لمدة ٢٤ ساعة، الأنبوية الثالثة عند درجة حرارة ٣٧°C لمدة ٢٤ ساعة والأنبوية الرابعة عند درجة حرارة ٥٥°C لمدة ٢٤ ساعة.

**٥- تعين درجة الحرارة المثلث للبكتيريا:**

أنببيب اختبار محتوية على بيئة أجار مغذي مائل ومزارع بكتيرية (شكل ٦) حديثة العمر وحضانات مضبوطة عند درجات حرارة مختلفة (٥٠°C / ٢٥°C وهكذا).

يفضل أن تكون على بيئة خط يبدأ من الطرف الداخلي لسطح الأجراء متوجه إلى الطرف الخارجي لسطح الأجراء. تحضن الأنبوية



شكل (٦): يوضح تلقيح الأنابيب بالبكتيريا.

شكل متكرر من الأوراق المصحوبة بأعراض بعد ٤٨-٢٤ ساعة من التحصين على المادة الصلبة.

#### RESULTS تعريف البكتيريا:

قد تختلف أعراض المرض تبعاً لعمر الورقة ومرحلة تطور مرض اللatha و أنواع نبات الكافور والتي تتميز عموماً ببقاء مائة داخل العروق والتي تتطور إلى بقع بنية أو نخر تتلون باللون الأصفر والأحمر على الحواف على طول نصل الورقة (شكل ٢) عادة ما يلاحظ تشهات في طرف الورقة.  
بعد أربعة أيام من التحصين على بيئة NA تشكلت في تحفيف ٣-٢ ١٠-١٠-١٠-٢. كانت صفراء فاتحة ، محدبة ، لامعة ، و قطرها مم وتحول الوسط المحيط بالمستعمرة إلى اللون الأصفر الفاتح.

#### ٦- اختبار القدرة على إحداث المرض: Pathological test capability:

تم زراعة شتلات من نبات الدخان والطماطم ولحقت بمعانى لمزرعة بكتيرية حديثة  $10^{10}$  CFU/mL ( وذلك بواسطة ثاقب فليني ثم وضعت نقطة واحدة من المعلق البكتيري داخل القب ووضعت الشتلات في غرفة نمو عند ٢٥ درجة مئوية بنسبة ٨٠٪ الرطوبة النسبية والضوء الكافي لنمو النبات. أعراض تم تسجيلها بعد ٥-٤ و ١٤ يوماً ومقارنتها مع الضوابط الإيجابية والسلبية. تم تقييم الأعراض المرضية على تلقيح الشتلات على أساس شدة النخر على الساقان و حدوث أعراض نموذجية على الأوراق تم تقييم المستعمرات البكتيرية (شكل ٧) المشتبه فيها *Xanthomonas* باستخدام اختبار القدرة على إحداث المرض على نبات الكافور (Marquez-Villavicencio et al., 2011) عزلة *Xanthomonas axonopodis.pv. Eucalypti*. كانت تم الحصول عليها من أوراق الكافور وتم عزل المستعمرات الصفراء



شكل (٧): يوضح لون المستعمرة البكتيرية على بيئة الاجار المغذي (NA).

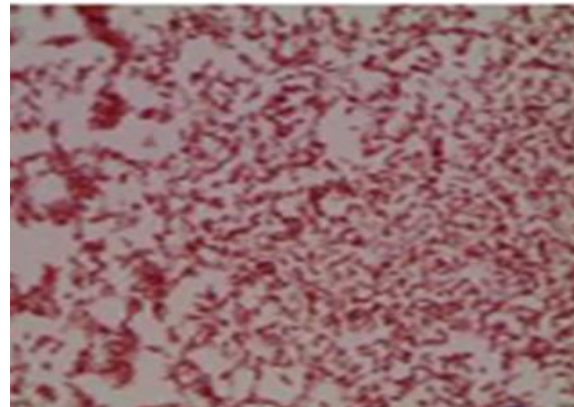
الخلايا ظهرت باللون الوردي (صبغة السفرينيين). ومن ثم كانت بكتيريا الاختبار عبارة عن عصويات قصيرة مستقمة وبالتالي فهي سالبة الجرام ، وهي السمة المميزة للبكتيريا الممرضة للنبات (شكل ٨).

#### تشخيص البكتيريا المسببة للمرض:

الصفات المظهرية والمجهرية لعزلات البكتيريا قيد الدراسة:

#### صبغ جرام:

الفحص المجهرى لصبغة جرام أوضح أن بكتيريا الاختبار لم تحافظ باللون البنفسجي للبقعة الأولية (البنفسجي الكريستالي) ولكن



(شكل ٨): يوضح شكل البكتيريا تحت المجهر الضوئي.

يوضح جدول رقم (١) النتائج التي تم الحصول عليها من دراسة الصفات المظهرية و المجهرية للبكتيريا المعزولة من الأوراق المصابة بمرض لفة أوراق نبات الأكبتوس

الصفة	الملحوظات
التفاعل مع صبغة جرام	سائل
شكل الخلايا	عصوي قصیر
تجمع الخلايا	غالبيتها مفردة
لون المستعمرات وشكلها على وسط NA	كريمي إلى أبيض لامع دائرية ذات حواف منتظمة وكاملة ، محدبة وبقطر ٥-١٠ ملم

يوضح جدول رقم (٢) طبيعة نمو العزلات البكتيرية قيد الدراسة وصفات المستعمرات النامية على بعض الأوساط المختلفة

الوسط الزراعي	الملحوظات
طبيعة نمو البكتيريا على NA	مستعمرات كريمية
طبيعة نمو البكتيريا على YDC	مستعمرات صفراء إلى كريمية محدبة لامعة دائرية ذات حافة كاملة
طبيعة نمو البكتيريا على KB	مستعمرات بيضاء إلى كريمية حافة كاملة مستديرة محدبة غير شفافة

**Starch hydrolysis:** أوضحت النتائج أن بكتيريا الاختبار أنتجت منطقة عديمة اللون حول النمو البكتيري على وسط أجار نشا مغمور بالبليود وقد أظهرت النتائج إيجابية اختبار التحلل المائي للنشا.

**اختبار هيدروكسيد البوتاسيوم:** كشفت الدراسة الحالية أن بكتيريا الاختبار أظهرت تفاعلاً إيجابياً لاختبار KOH (شكل ٩).

كانت بكتيريا مخاطية صفراء يتم عزلها باستمرار من عينات المناطق المختلفة مع أعراض بقع الأوراق البكتيرية النموذجية التي تم جمعها من الحقول ، سالبة لصبغة جرام ، على شكل عصويات قصيرة ، كما كان شكل وحجم المستعمرة متوسطاً ومحدباً ومخاطياً والبكتيريا متحركة.

**الاختبارات البيوكيميائية والفيسيولوجية :** *Physiological and Biochemical tests*



شكل(٩): يوضح إيجابية اختبار KOH.

جميع العزلات كانت لديها القدرة على إنتاج إنزيم الكتاليز وظهرت فقاعات إثناء الإختبار دليلاً إيجابياً لتفاعل.

**اختبار إنزيم الكتاليز:**

**(Catalase):** يوضح جدول رقم (٣) الإختبارات البيوكيميائية والفيسيولوجية للعزلات البكتيرية للمناطق المختلفة

المناطق	Gram reaction	Motility indole	Catalase test	Starch hydrolysis	Oxidase test	Tobacco hypersensitivity
البيضاء	-	+	+	+	+	+
الستلونة	-	+	+	+	+	+
المنصورة	-	+	+	+	+	+
قصر ليبيا	-	+	+	+	+	+

على أوراق نبات الطماطم حيث تمثلت الأعراض بظهور تلوّن في الأوراق باللون الأصفر ثم تتحول لللون البني وأيضاً الأعراض على أوراق الكافور المحقونة باللقالح البكتيري تلوّن الأوراق باللون البني خلال ٤٨ ساعه من التحضين.

**القدرة على إحداث المرض:** أوضح اختبار القدرة على إحداث المرض (شكل ١٠) بأن العزلات الإيجابية لاختبار فرط الحساسية على نبات البنج كانت لها القدرة على إحداث الأعراض النموذجية لمرض اللحة البكتيرية



شكل (١٠): أعراض القدرة على إحداث المرض على أوراق الطماطم وأوراق الكافور.

أظهرت العزلات التي حققت في أوراق نباتات التجربة أعراض فرط الحساسية بعد ٤٨ ساعة حيث ظهرت على المناطق المحقونة أعراض الموت الموضعي Necrosis بينما لم يظهر على الأوراق المحقونة بالماء أي أعراض.  
ثبتت نتائج اختبار فرط الحساسية على أوراق نبات التجربة (شكل ١١) إن كل العزلات البكتيرية التي تم الحصول من المناطق كانت قادرة على إحداث المرض ، إذ ظهرت بقع صفراء في المنطقة

أظهرت نتائج المتحصل عليها أن مرض اللحمة البكتيرية راجع إلى جنس *Xanthomonas axonopodis* pv. *Eucalyptorum* حيث تم ظهور أعراض الموت على نباتات الطماطم وأوراق الكافور التي تم حقنها بهذه البكتيريا كما تم إعادة العزل من النباتات المصابة وتم الحصول على نفس عزلة البكتيريا.

**اختبار فرط الحساسية على التجربة:** *Hypersensitive Reaction Test:*



شكل (١١): يوضح اختبار فرط الحساسية على أوراق نبات التجربة.

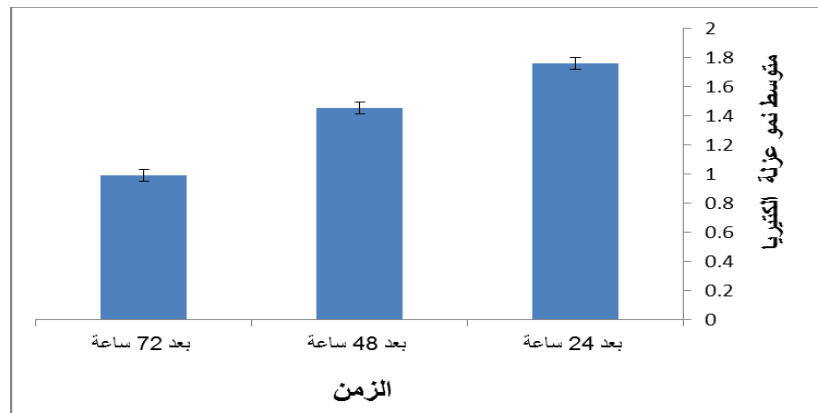
حرارة ٣٠ درجة مئوية بينما لم تظهر درجات الحرارة ٥ درجة مئوية أي نمو على بيئة Kings B medium.

**تأثير الوقت على متوسط نمو عزلة البكتيريا:** *Xanthomonas axonopodis* pv. *Eucalyptorum*:

من الشكل (١٢) نلاحظ أن متوسط نمو عزلة البكتيريا *Xanthomonas* تأثرت مع مرور الزمن حيث دلت نتائج التحليل الإحصائي وجود فروق بين متوسط نمو عزلة البكتيريا عند ٢٤ ساعة و ٤٨ ساعة و ٧٢ ساعة بمتوسطات (١.٤٥، ١.٧٥، ٠.٩٩) على التوالي، حيث قل النمو مع الوقت وربما رجع ذلك لقلة الغذاء وتراكم المواد الضارة.

الملحة تحولت بعدها إلى اللون البني الفاتح وتفاوتت العزلات البكتيرية فيما بينها في سرعة ظهور هذه الأعراض وتفاوتت العزلات البيضاء ١ ، السليونة ٢ ، على العزلات الأخرى المنصورة ٣، قصر لبيبا ٤ ، إذ تحولت المنطقة الملحة إلى اللون الأصفر بعد ١٠ ساعات من حقن اللقاح البكتيري في الفراغ الخلوي لهذه الأوراق ثم إلى اللون البني بعد ٤٨ ساعة من عملية الحقن.

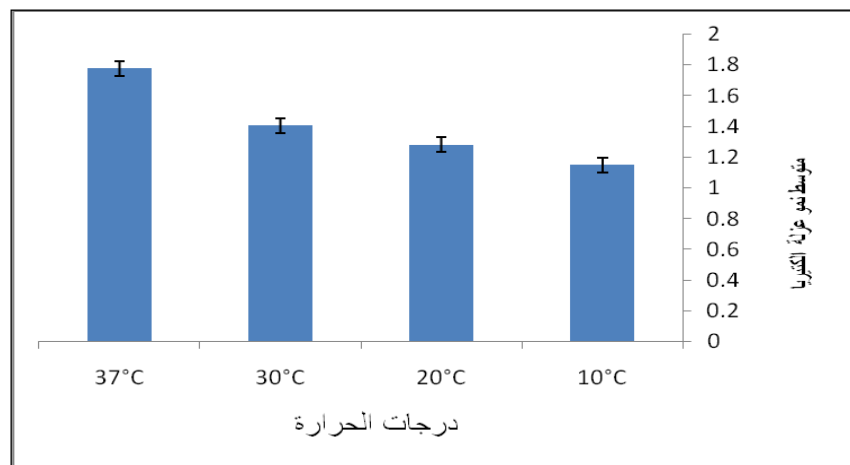
**تأثير درجات الحرارة المختلفة:** تطور أعراض المرض، بمجرد بدء العدوى تتأثر بدرجة الحرارة وكثافة اللقاح. حضانة المرض القصيرة، فترات المرض وشدة المرض العالية تحدث في درجات الحرارة المثلثي (٣٠-٢٥ درجة مئوية). وكثافة عالية من اللقاح ( $\leq 10^6$  CFU / مل) بالنسبة لدرجات الحرارة المختلفة لوحظ أن النمو الأمثل للبكتيريا عند درجة



شكل (١٢): تأثير الوقت على متوسط نمو البكتيريا.

الإحصائي وجود فروق بين متوسط نمو عزلة البكتيريا عند  $37^{\circ}\text{C}$  و  $30^{\circ}\text{C}$  و  $20^{\circ}\text{C}$  و  $10^{\circ}\text{C}$  بمتوسطات ( $1,78,1,15,1,28,1,41$ ) على التوالي، حيث زاد النمو مع ارتفاع درجات الحرارة.

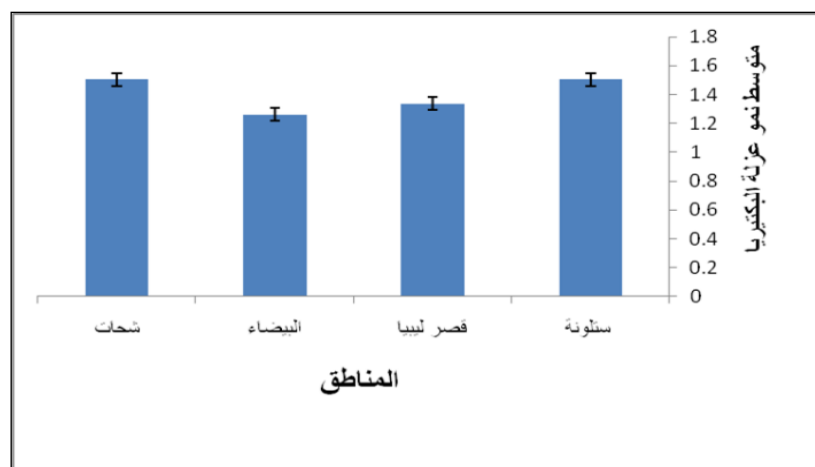
**تأثير درجات الحرارة على متوسط نمو البكتيريا:**  
*Xanthomonas axonopodis pv. Eucalyptorum:*  
 من الشكل (١٣) نلاحظ أن متوسط نمو عزلة البكتيريا تأثر بدرجات الحرارة حيث دلت نتائج التحليل



شكل (١٣): تأثير درجات الحرارة على متوسط نمو البكتيريا.

التحليل الإحصائي وجود فروق بين متوسط نمو عزلة البكتيريا من منطقة سلسلة وقصر ليبيا والبيضاء وشحات بمتوسطات ( $1,51,1,24,1,26,1,51$ ) على التوالي، حيث كان النمو في عزلة شحات وستلونه أعلى من عزلة البيضاء وقصر ليبيا.

**تأثير المناطق على متوسط نمو البكتيريا:**  
*Xanthomonas axonopodis pv. Eucalyptorum:*  
 من الشكل (١٤) نلاحظ أن متوسط نمو عزلة البكتيريا تأثر باختلاف المناطق التي تم عزل البكتيريا منها حيث دلت نتائج التحليل



شكل (١٤): تأثير المناطق على متوسط نمو البكتيريا.

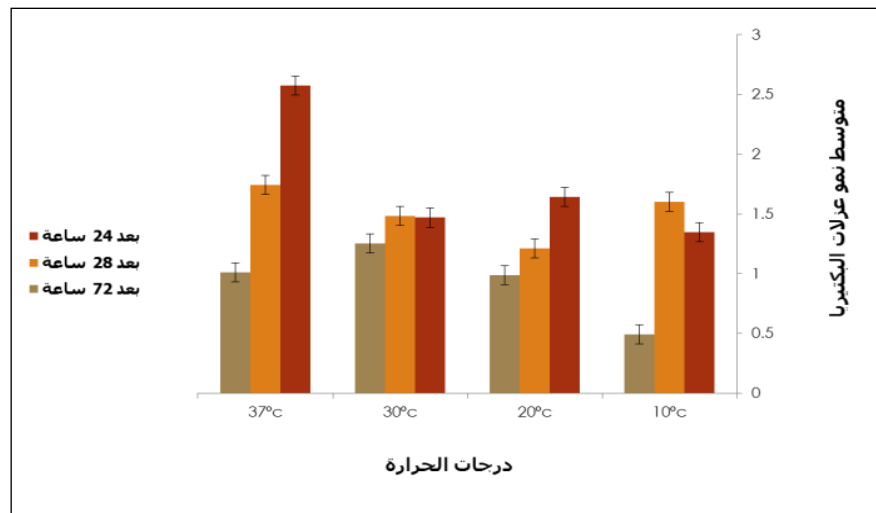
منطقة شحات كانت أفضل درجة حرارة لنمو البكتيريا درجتي  $37^{\circ}\text{C}$  و  $30^{\circ}\text{C}$  و  $20^{\circ}\text{C}$  و  $10^{\circ}\text{C}$  ميليها  $37^{\circ}\text{C}$  و  $30^{\circ}\text{C}$  و  $20^{\circ}\text{C}$  و  $10^{\circ}\text{C}$ .  
 ٣- بعد ٧٢ ساعة كان متوسط نمو البكتيريا منخفض جداً، حيث كانت أفضل درجة حرارة لنمو البكتيريا في منطقة سلسلة  $37^{\circ}\text{C}$  و  $30^{\circ}\text{C}$  و  $20^{\circ}\text{C}$  و  $10^{\circ}\text{C}$  ميليها  $37^{\circ}\text{C}$  أما منطقة قصر ليبيا فكانت أفضل درجة حرارة لنمو البكتيريا  $37^{\circ}\text{C}$  ثم  $30^{\circ}\text{C}$  و  $20^{\circ}\text{C}$  و  $10^{\circ}\text{C}$  ميليها  $37^{\circ}\text{C}$  ثم  $30^{\circ}\text{C}$  و  $20^{\circ}\text{C}$  و  $10^{\circ}\text{C}$ ، أما منطقة شحات فكانت أفضل درجة حرارة لنمو البكتيريا درجتي  $37^{\circ}\text{C}$  و  $30^{\circ}\text{C}$  و  $20^{\circ}\text{C}$  و  $10^{\circ}\text{C}$  ميليها  $37^{\circ}\text{C}$  و  $30^{\circ}\text{C}$  و  $20^{\circ}\text{C}$  و  $10^{\circ}\text{C}$ .

حيث دلت نتائج التحليل الإحصائي وجود فروق معنوية بين متوسطات نمو البكتيريا في المناطق (سلسلة وقصر ليبيا والبيضاء وشحات) وعند درجات الحرارة المختلفة ( $37^{\circ}\text{C}$  و  $30^{\circ}\text{C}$  و  $20^{\circ}\text{C}$  و  $10^{\circ}\text{C}$ ) و بعد فترات زمنية مختلفة (٢٤ ساعة و ٤٨ ساعة و ٧٢ ساعة).

**تأثير التداخل بين الزمن والمناطق ودرجات الحرارة على متوسط نمو عزلات البكتيريا:**

دلت النتائج في جدول (٤) وشكل (١٥) على التالي:  
 ١- بعد ٢٤ ساعة كان متوسط نمو البكتيريا عالي، حيث كانت أفضل درجة لنمو عزلة بكتيريا *Xanthomonas*. منطقة سلسلة ومنطقة البيضاء كانت في منطقة شحات أقل درجة لنمو عزلة بكتيريا  $37^{\circ}\text{C}$  و  $30^{\circ}\text{C}$ ، وكانت في منطقة قصر ليبيا أفضل درجة لنمو البكتيريا  $37^{\circ}\text{C}$ .

٢- بعد ٤٨ ساعة كان متوسط نمو البكتيريا منخفض، حيث كانت أفضل درجة حرارة لنمو البكتيريا في منطقة سلسلة  $37^{\circ}\text{C}$  و  $30^{\circ}\text{C}$  و  $20^{\circ}\text{C}$  و  $10^{\circ}\text{C}$  ميليها  $37^{\circ}\text{C}$  أما منطقة قصر ليبيا فكانت أفضل درجة حرارة لنمو البكتيريا  $37^{\circ}\text{C}$  ثم  $30^{\circ}\text{C}$  و  $20^{\circ}\text{C}$  و  $10^{\circ}\text{C}$  ميليها  $37^{\circ}\text{C}$  ثم  $30^{\circ}\text{C}$  و  $20^{\circ}\text{C}$  و  $10^{\circ}\text{C}$ ، أما منطقة البيضاء فكانت  $37^{\circ}\text{C}$  ميليها  $37^{\circ}\text{C}$  ثم  $30^{\circ}\text{C}$  و  $20^{\circ}\text{C}$  و  $10^{\circ}\text{C}$  ميليها  $37^{\circ}\text{C}$  ثم  $30^{\circ}\text{C}$  و  $20^{\circ}\text{C}$  و  $10^{\circ}\text{C}$ .



شكل (٤): تأثير تداخل الوقت مع درجات الحرارة على متوسط نمو عزلات بكتيريا *Xanthomonas axonopodis* pv. *Eucalyptorum*

الزمن (الساعات)	المناطق	٢٠ درجة منوية	١٠ درجة منوية	٣٠ درجة منوية	٤٦٧ درجة منوية
٢٤	الستلونة قصر ليبيا البيضاء شحات	١,٠٤ ١,١٥ ١,٠٢ ١,١٤	١,٢٩ ١,٢٨ ١,٢٠ ١,٣٨	١,٧٤ ١,٩٠ ١,٢٤ ٢,٤٣	٤,٦٧ ٢,١٩ ١,٩٨ ٢,٥٠
٤٨	الستلونة قصر ليبيا البيضاء شحات	٠,٢٥ ٠,٦٤ ٠,٩٣ ١,٦١	٠,٤٦ ٠,٧٣ ١,٣٥ ١,٦٣	٠,٨٩ ١,٣٦ ١,٥١ ١,٤٣	٠,٩١ ١,٥١ ١,٢٨ ١,٤٣
٧٢	الستلونة قصر ليبيا البيضاء شحات	٠,٧٩ ٠,٦١ ٠,٩٣ ١,٦١	٠,٣٩ ١,٢١ ١,٧٣ ١,٧٣	١,٩٠ ١,٦٥ ١,٩٠ ١,٦٦	١,٧٤ ١,٧٤ ١,٧٠
LSD ( $P \leq 0.05$ )					

النتائج مع نتائج مماثلة في وقت سابق من قبل العديد من الأبحاث (McGuire et al., 1988; Mubeen et al., 2015).

الوقت: القيام بدراسات حول الأمراض التي تصيب أشجار الكافور وحصر المسببات المرضية وذلك لقلة الدراسات وعدم الإهتمام بالشجرة كمصدر للعديد من المنتجات الصناعية.

## REFERENCES

- المراجع العربية
- السويدى, طه موسى محمد, زينب عليوي محمد التميمي, عدنان عبدالجليل لهوف وعلا طالب العامري, ٢٠٢٠. تأثير بعض العوامل البيئية في الأداء الحيائى لدبور التورم maskelli (Ashemed) على أوراق camaldulensis EucalyptusOphelimus حقوليا في كربلاء, العراق. مجلة وقایة النبات العربية: ١-٣٨.
- الشلاقى, عبد الحميد عمران عبد الله, ٢٠٠٩. تأثير أشجار الكافور على خواص التربة في Eucalyptus camaldulensis غابة النصر, طرابلس, ليبيا, رسالة ماجستير, كلية الموارد الطبيعية وعلوم البيئة, جامعة عمر المختار, البيضاء, ليبيا. صفحة ٨٠.
- بدر, مصطفى الدسوقي, مصر. ٢٠٠٣. موسوعة الأشجار والبيئة. منشأة المعارف الإسكندرية, مصر. صفة ٨٤٦.
- عز الدين مهد العومي, محمد علي سعيد ونجية محمد جاد الله, ٢٠١٣. تحديد انتشار مرض التردن التاجي وتعریف مسببه بمنطقة الجبل الأخضر في ليبيا. المجلة الليبية لوقایة النبات, ٣ (٣) ٥٠: ٦٥.

تبين أن أفضل درجة حرارة تنمو عليها البكتيريا ما بين ٣٧°C و ٤٨°C وهي تعتبر درجة النمو المثلى للبكتيريا، أما عن درجات الحرارة الملائمة لنمو هذه البكتيريا يعتبر نمو البكتيريا عند درجة الحرارة ٣٧°C أحد العوامل المهمة لتميز هذه البكتيريا حيث يعتبر مجال نموها ما بين صفر - ٣٧°C.

## CONCLUSIONS

بكتيريا *Xanthomonas axonopodis eucalypti* تم عزلها والتعرف عليها من أوراق اليوكالبتوس على أساس اختبار القدرة على إحداث المرض وكذلك اختبار فرط الحساسية على نبات التبغ ونمو البكتيريا على الوسائط المختلفة والاختبارات البيوكيمائية كانت هناك علاقة متبادلة بين درجة الحرارة تحت كل حالة نمو وأشارت النتائج أن نمو البكتيريا قد تغير بتغيرات درجات الحرارة المختلفة حيث أنتج نموان بفع أو لفحة بيساءة كرمية عند درجة حرارة ٢٠ و ٣٧ درجة مئوية وهذا ما اتفق مع (Du-Plessis, 1987) و (Goto, 1992) و (عز الدين وأخرون, ٢٠١٣).

أن العوامل البيئية كدرجات الحرارة تسهم بدور مهم في زيادة النمو البكتيري في المدى الحراري ٢٠ - ٣٥°C ترجع إلى فعاليته الحيوية في النمو والتي تصل إلى قمة نشاطها عند درجة الحرارة المثلث ومن ثم يسهل لها استغلال المصادر الغذائية في الوسط الغذائي وبناء الجزيئات الكبيرة في بناء كلثة البكتيريا في دراستنا آفة الأوراق *X.axonopodis* حيثيات من المعرفة تم جمعها وعزل *X.axonopodis eucalypti* وتنقذته.

اختبارات كيميائية حيوية مختلفة مثل تفاعل صبغة جرام و التحلل المائي والنشا، و اختبار أوكسيديز، التبييع والصبغ الفلوري و KOH. وصف *X.axonopodis eucalypti* بأنها بكتيريا سالبة كما تتشابه

## المراجع الإنجليزية

- Alfenas, A.C., Zauza, E.A.V., Mafia, R.G., and Assis, T.F. 2009. Clonagem e doenças do eucalipto. 2nd Ed. Viçosa, MG, Brazil. Editora UFV.
- Alfenas, A.C., Gonçalves, R.C., Romeiro, R.S., and Assis, T.F. 2001. Mancha foliar e desfolha de *Eucalyptus urophylla* x *E. maidenii* Fitopatologia Brasileira 26:294. (Abstract).
- Barber, J. P., Liese, B., and Abrams, M.J. 2003. Development of the Cognitive Therapy Adherence and Competence Scale. *Psychotherapy Research*, 13, 205-221.
- Brooker, M.I.H. 2000. A new classification of the genus *Eucalyptus* L'Hér. (Myrtaceae). *Australian Systematic Botany*, 13: 79-148.
- Coutinho, T. A., Westhuizen, L., Roux, J., McFarlane, S.A., and Venter, S.N. 2015. Significant host jump of *Xanthomonas vasicola* from sugarcane to a *Eucalyptus grandis* clone in South Africa. *Plant Pathol.* 64:576-581.
- Crous, P.W., Wingfield, M.J., and Raj, T.R.N. 1993. Harknesia species occurring in south Africa *Mycologia*, 85: 103-118.
- Du-Plessis, H.J. 1987. Canker development on plum shoots following systemic movement of *Xanthomonas campestris* pv. *Pruni* from inoculated leaves. (Abst) *Rev plant pathol.* 67: 379.
- Elkhalfi, B., Essari, A., Serrano, A., and Soukri, A. 2013. Antibacterial activity of plant methanolic extracts on a field isolate of *Pseudomonas syringae* pv tomato from the Casablanca region (Morocco), *Advances in Bioscience and Biotechnology*, vol.4, pp.1-9.
- Gessesse, D., and Teklu, E. 2011. *Eucalyptus* in East Africa, socio-economic and environmental Issues. Forestry Department, Food and Agriculture Organization of the United Nations. Rome, Italy. 7 pp. Gonçalves RC, Alfenas AC, Oliveira JR, Silva IT, Oda S, Assis.
- Gonçalves, R. C., Douglas, L., Oliveira, J.R., Maffia, L.A., Cascardo, J., and Alfenas, A.C. 2008. Etiology of bacterial leaf blight of eucalyptus in Brazil. *Trop. Plant Pathol.* 33:180-188.
- Goto, M. 1992. Fundamentals of bacterial plant pathology San Diego, Academic Press.
- Kado, E.I., and Heskett, M.G. 1970. Selective media for isolation of *Agrobacterium*, *Corynebacterium*, *Erwinia*, *Pseudomonas* and *Xanthomonas*. *Phytopathology* 60:969-976.
- King, E.O., Ward, M.K., and Raney, D.E. 1954. Two Simple Media for the Demonstration of pyocyanin and fluorescein, *Journal of Laboratory and Clinical Medicine*, 44: 301- 307.
- Lelliott, R.A., Stead, D.E. 1987. Methods for the diagnosis of bacterial disease of plants vol.2. British Society for Plant Pathology. Blackwell, London.
- Mary, N.Chege., Fred, W.K., Joseph, K., and Evans. N. Nyaboga. 2017. Phenotypic and genotypic diversity of *Xanthomonas axonopodis* pv.*manihotis* causing bacterial blight disease of cassava in Kenya. *Journal of Applied Biology & Biotechnology* Vol. 5 (02), pp.038-044.
- Mubeen, M., Arshad, M., Hafiz,I., Yasir, I., Muhammad, I., and Bilquees, I. 2015. Biochemical characterization of *Xanthomonas axonopodis* pv. *citri*: a gram negative bacterium causing citrus canker. *I. J. S. N.*, 6(2): 151-154.
- Marquez-Villavicencio, M.D., Weber, B., Witherell, A., Willis, D.K., and Charkowski, A.O. 2011. The 3-Hydroxy-2-Butanone Pathway Is Required for *Pectobacterium carotovorum* Pathogenesis. *Plos one*.6: 1-11.
- McGuire, R.G. 1988. Evaluation of bactericidal chemicals for control of *Xanthomonas* on citrus plant disease. *American Phytopath. Society*. 72(12): 1016-1020.
- Neves, D.A., Guimarães, L., Ferraz, H.G.M., and Alfenas, A.C. 2014. Favorable conditions for *Xanthomonas axonopodis* infection in *Eucalyptus* spp. *Trop. Plant Pathol.* 39:428-433.
- Ryu, E., 1940. A simple method of differentiation between Gram-positive and Gram-negative organisms without staining. *Kitasa to Archives of Experimental Medicine* 17, 58-63.
- Schaad, N.W., Jones,J.B., and Chun, W. 2001. Laboratory guide for the identification of plant pathogenic bacteria. American Phytopathological Society (APS Press), MN, USA.
- Sankaran, K.V., Sutton, B.C., and Balasundaran, M. 1995. *Cryptosporiopsis eucalypti* sp. nov. causing leaf spots of eucalypts in Australia, India and USA. *Mycological Research* 99:827–830
- Suslow, T.V., Schroth, M.N., and Isaka, M. 1982. Application of a rapid method for gram differentiation of plant pathogenic and saprophytic bacteria without staining, *Phytopathology*, vol.72, n°7, pp.917-918.